

邯郸市 2022—2023 学年第一学期期末质量检测

高三地理

班级 _____ 姓名 _____

注意事项:

1. 答卷前,考生务必将自己的姓名、班级和考号填写在答题卡上。
2. 回答选择题时,选出每小题答案后,用 2B 铅笔把答题卡上对应题目的答案标号涂黑,如需改动,用橡皮擦干净后,再选涂其他答案标号。回答非选择题时,将答案写在答题卡上。写在本试卷上无效。
3. 考试结束后,将本试卷和答题卡一并交回。

一、选择题:本题共 16 小题,每小题 3 分,共 48 分。在每小题给出的四个选项中,只有一项是符合题目要求的。

自 1980 年以来,我国法定结婚年龄一直没有变化,但近 30 年来,我国平均初婚年龄屡创新高。表 1 示意我国平均初婚年龄变化。据此完成 1~2 题。

表 1

时间/年	1990	2000	2010	2020
平均初婚年龄/岁	22.87	24.21	24.89	28.67

1. 近年来我国平均初婚年龄逐渐增大的主要原因有

- | | |
|---------|----------|
| ①平均寿命延长 | ②受教育年限增加 |
| ③男女比例失衡 | ④婚育观念转变 |
| A. ①② | B. ③④ |
| C. ①④ | D. ②④ |

2. 我国平均初婚年龄逐渐增大会导致

- | | |
|------------|-----------|
| A. 人口老龄化加剧 | B. 产业结构失调 |
| C. 环境承载力下降 | D. 育龄妇女减少 |

新疆虽然缺少铝土矿藏,但 2010 年后其电解铝(又称原生铝,是用开采铝矿得到的铝矿石,通过电解槽提炼出的纯铝)产业获得高速发展,成为我国电解铝产能第二的省区。目前,新疆的再生铝(由废旧铝或废铝合金材料或含铝的废料,经重新熔化提炼而得到的铝合金或铝金属)产能逐年上升。图 1 示意新疆能源矿产分布。据此完成 3~5 题。



图 1

3. 推测 2010 年后新疆电解铝产业迅速发展的主导因素是
- A. 原料 B. 市场 C. 技术 D. 政策
4. 图中最适宜发展电解铝产业的区域是
- A. 甲 B. 乙 C. 丙 D. 丁
5. 新疆大力发展再生铝产业有利于
- A. 降低能源对外依赖度 B. 增加产品种类
- C. 提高电解铝产品质量 D. 降低生产成本

洮南市位于吉林西北端的洮儿河南岸，土壤肥力中等，属中温带大陆性季风气候，春季多大风，降水集中在 7、8 月份。洮南自古就有种植辣椒的习惯，所产辣椒因品质上乘，被誉为“无公害（有毒有害物质残留量少）红干椒生产基地”。椒农多在 3 月初采用小拱棚育苗，棚内椒苗娇嫩，极易因叶片受损而遭受病害。图 2 示意洮南市地理位置和椒棚。据此完成 6~8 题。

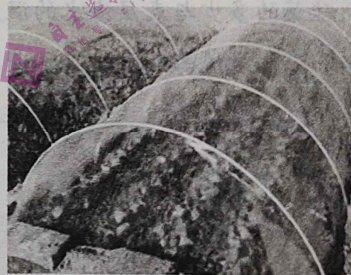


图 2

6. 洮南辣椒“无公害”主要得益于当地
- A. 冬长寒夏短凉 B. 土壤肥力中等
- C. 降水丰沛集中 D. 地形平坦开阔
7. 春季，当地采用椒棚育苗面临的最大的威胁是
- A. 大风 B. 严寒 C. 干旱 D. 雨雪
8. 洮南椒农经常清除小拱棚膜内水珠，主要是为了
- A. 减少光照 B. 增加温差 C. 避免伤苗 D. 提高湿度

D岛位于北太平洋中部;轮廓呈马鞍形;其主峰是世界最大孤立山体之一,高出海底约9300 m,高出海面约4207 m,山顶有一深约183 m的环状洼地。图3示意D岛地理位置及地形。据此完成9~10题。

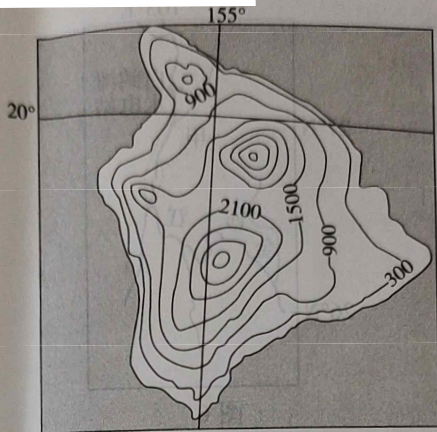


图3

9. 从成因上看, D岛属于

- A. 冲积岛 B. 火山岛 C. 珊瑚岛 D. 大陆岛

10. 该岛上降水空间分布不均, 降水最多的地点位于

- A. 西部沿海 B. 中间鞍部 C. 东北山坡 D. 主峰洼地

长江源沱沱河—通天河段河谷宽阔顺直, 汉道众多, 边滩分布广且边滩与沙洲分合频繁。图4示意沱沱河—通天河段水系, 图5示意不同流量下M河段内边滩的面积变化。据此完成11~13题。

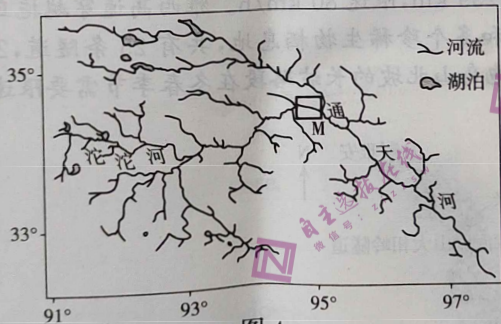


图4

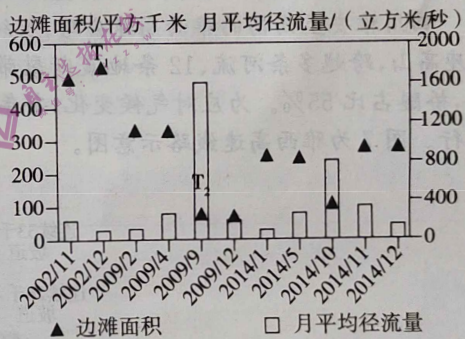


图5

11. 该河段汉道众多, 洲滩广布, 主要是因为该段河流

- A. 径流稳定, 含沙量季节变化小 B. 径流稳定, 含沙量季节变化大
C. 含沙量大, 径流量季节变化小 D. 含沙量大, 径流量季节变化大

12. 与 T_1 时段相比, T_2 时段河水

- A. 流速增大, 以堆积作用为主 B. 流速减小, 以侵蚀作用为主
C. 流速减小, 以堆积作用为主 D. 流速增大, 以侵蚀作用为主

13. 影响该河段边滩面积变化的直接因素主要是

- A. 径流量 B. 含沙量 C. 河道落差 D. 河床宽度

白鹤滩水电站位于金沙江下游干流，蓄水后，甲区域部分被淹没。电站所在河段山高谷深、干湿季明显(5—10月为雨季)，谷风势力季节变化明显；谷底到山顶植被为干旱灌丛—针叶林—灌丛草甸。图6示意白鹤滩水电站的位置。据此完成14~16题。

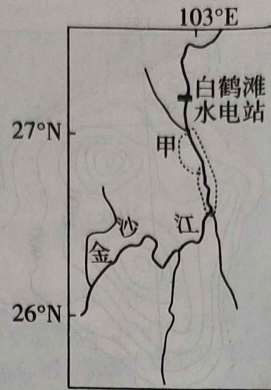


图6

14. 该段河谷谷底气候
 A. 干热 B. 湿热 C. 干冷 D. 湿冷
15. 该段河谷谷风势力强劲的季节是
 A. 春夏 B. 夏秋 C. 秋冬 D. 冬春
16. 白鹤滩水电站蓄水后，甲区域
 A. 植被覆盖率降低 B. 谷风势力减弱
 C. 气温日较差变大 D. 泥沙淤积增加

二、非选择题：共4道题，共52分。

17. 阅读图文材料，完成下列要求。(12分)

四川雅安至西昌的雅西高速公路，长约239 km，限速80 km/h。雅西高速穿越拖乌山等5座高山，跨越多条河流、12条地震断裂带和多个珍稀生物栖息地，共有25条隧道，270座桥，桥隧占比55%。为应对气候变化，每年拖乌山北坡的长坡路段在冬春季节需要限速甚至限行。图7为雅西高速线路示意图。

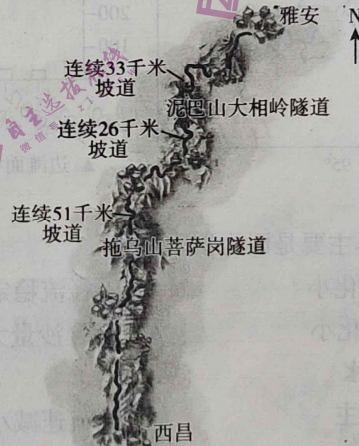


图7

- (1) 简述雅西高速桥隧占比高的生态意义。(6分)
- (2) 分析雅西高速拖乌山北坡长坡路段在冬春季节需要限速限行的原因。(6分)

18. 阅读图文材料,完成下列要求。(10分)

西洛可风是发生在地中海地区的一种强偏南风,它源自撒哈拉沙漠上空,向北一路穿越沙漠、跨过地中海后抵达欧洲南部(如图8所示),中途挟带的水汽在高空中遇冷易形成降雨。在春夏季的南欧,西洛可风因潮湿闷热而被当地居民称为“恶风”。除此之外,西洛可风还提高了地中海的固碳能力。

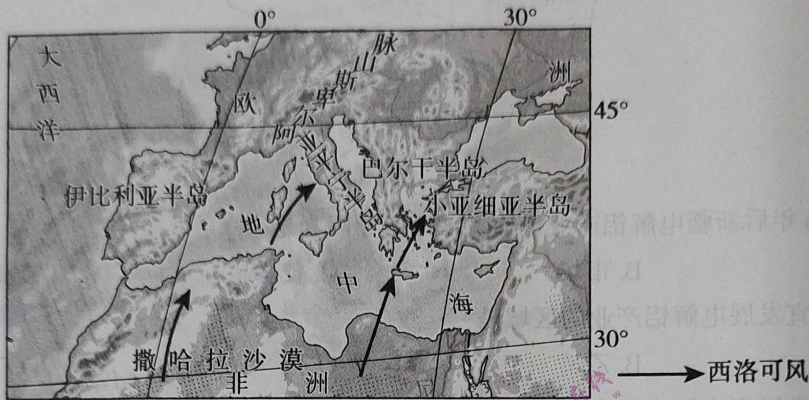


图8

(1)分析到达南欧的西洛可风潮湿闷热的原因。(4分)

(2)运用海—气相互作用原理,说明西洛可风对地中海固碳能力的影响。(6分)

19. 阅读图文材料,完成下列要求。(16分)

白令海(见图9)是太平洋沿岸最北的边缘海,夏季,西部海域表层海水稳定成层;受阿留申低压向北移动的影响,大部分海区能见度极差。主要以硅藻为食的浮游生物的生长旺季是春季和秋季;硅藻的多少与表层海水的温度、营养盐含量呈正相关;表层海水中营养盐主要来自海底;降水和海水对流影响表层海水营养盐含量。

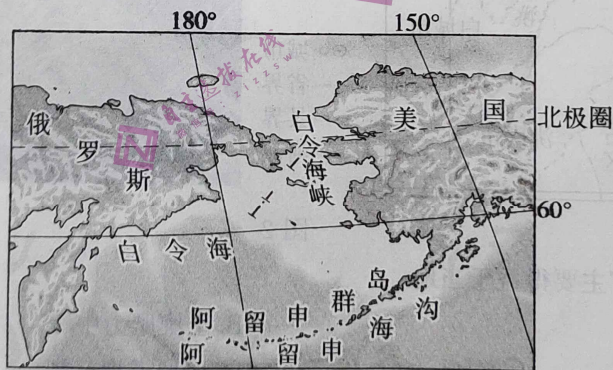


图9

(1)分析白令海海域夏季能见度差的主要原因。(4分)

(2)描述白令海西部海域夏季表层海水稳定成层的形成过程。(6分)

(3)说明春秋两季白令海浮游生物生长旺盛的主要原因。(6分)

20. 阅读图文材料,完成下列要求。(14分)

“镰刀湾”地区(见图10),包括东北冷凉区、北方农牧交错区、西北风沙干旱区、太行山沿线区及西南石漠化区。该地区是我国主要玉米产区。近些年,在全国玉米播种面积逐渐扩大的背景下,“镰刀湾”地区玉米面积却逐渐减少,部分种植籽粒玉米(以采收籽粒为主的玉米)的耕地改种青贮玉米(将玉米植株全部收割并加工成饲料的玉米)或其他牧草,以满足养殖业的发展。

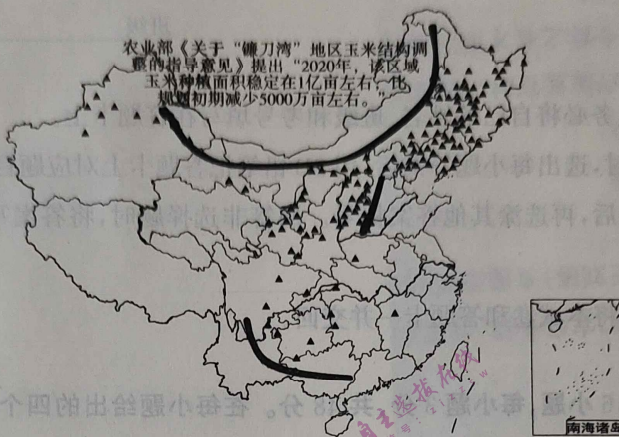


图10

- (1)说明与东北冷凉区相比,西南石漠化区玉米种植的不利自然条件。(6分)
- (2)分析“镰刀湾”地区玉米种植面积减少的主要原因。(4分)
- (3)说明该地区部分耕地改种青贮玉米或其他牧草对国家的意义。(4分)

2015	2010	2000	1990
28.8%	24.8%	15.1%	8%